

Dernière mise à jour des informations: Février 2025

Configuration du produit: 148A.01

148A.01: Projecteur SIPARIO Ø73 - DALI - Wideflood - OBLens - - 17.2W 1066.5lm - 3000K - CRI 97 - Blanc

**Référence produit**

148A.01: Projecteur SIPARIO Ø73 - DALI - Wideflood - OBLens - - 17.2W 1066.5lm - 3000K - CRI 97 - Blanc

Description technique

Projecteur orientable Ø73 avec adaptateur pour installation sur patère ou rail à tension de réseau. Source LED à technologie C.O.B (Chip on board) à haut rendu de couleur -IRC97- tonalité 3000K.

Corps en aluminium moulé sous pression avec bouchon postérieur et anneau frontal en matière thermoplastique (Mass-Balance). Le produit permet d'opérer une rotation de 360° verticalement avec blocage mécanique et une inclinaison de 90° horizontalement.

Dissipation de chaleur passive.

Système optique OptiBeam Lens avec optique Wideflood.

Bloc d'alimentation électronique gradable DALI-2 intégré au corps éclairant.

Projecteur avec système Push&Go conçu pour faciliter et accélérer en sécurité l'accouplement entre produit et accessoire optique.

La séparation mécanique permet de décrocher l'accessoire sans le faire tomber. Possibilité d'utilisation de trois accessoires intérieurs et d'un extérieur en même temps. Tous les accessoires intérieurs et extérieurs sont orientables sur 360° par rapport à l'axe longitudinal du projecteur.

Installation

Patère ou rail à tension de réseau.

Coloris

Blanc (01)

Poids (Kg)

0.66

Montage

fixé à un rail 3 allumages

Conforme à la norme EN60598-1 et à la réglementation en vigueur (ou à la réglementation relative)

**Données techniques**

| | | | |
|--|------|--------------------------------------|---------------------------------|
| Im du système: | 1067 | IRC (minimum): | 97 |
| W du système: | 17.2 | Température de couleur [K]: | 3000 |
| Im source: | 1350 | MacAdam Step: | 2 |
| W source: | 15 | Durée de vie LED 1: | > 50,000h - L90 - B10 (Ta 25°C) |
| Efficacité lumineuse (lm/W, valeurs du système): | 62 | Code Lampe: | LED |
| Im en mode secours: | - | Nombre de lampes par groupe optique: | 1 |
| Flux total émis à un angle de 90° ou plus [Lm]: | 0 | Code ZVEI: | LED |
| Light Output Ratio (L.O.R.) [%]: | 79 | Nombre de groupes optiques: | 1 |
| Angle d'ouverture [°]: | 46° | Control: | DALI-2 |

Polaire

| Imax=1655 cd | CIE nL 0.79 93-100-100-100-79 UGR 20.7-20.7 DIN A.61 UTE 0.79A+0.00T F*1=935 F*1+F*2=996 F*1+F*2+F*3=1000 | Lux | | | |
|--------------|---|-----|-----|-----|------|
| | | h | d | Em | Emax |
| 90° | | 2 | 1.7 | 320 | 414 |
| 1500 | | 4 | 3.4 | 80 | 103 |
| | | 6 | 5.1 | 36 | 46 |
| 0° | | 8 | 6.8 | 20 | 26 |

Coefficients d'utilisation

| R | 77 | 75 | 73 | 71 | 55 | 53 | 33 | 00 | DRR |
|------|----|----|----|----|----|----|----|----|-----|
| K0.8 | 69 | 65 | 62 | 60 | 64 | 61 | 61 | 58 | 74 |
| 1.0 | 73 | 69 | 66 | 64 | 68 | 65 | 65 | 62 | 79 |
| 1.5 | 77 | 74 | 72 | 70 | 73 | 71 | 70 | 68 | 86 |
| 2.0 | 80 | 77 | 76 | 74 | 76 | 75 | 74 | 72 | 91 |
| 2.5 | 81 | 80 | 78 | 77 | 78 | 77 | 76 | 74 | 94 |
| 3.0 | 82 | 81 | 80 | 79 | 80 | 79 | 78 | 76 | 96 |
| 4.0 | 83 | 82 | 82 | 81 | 81 | 80 | 79 | 77 | 98 |
| 5.0 | 84 | 83 | 83 | 82 | 82 | 81 | 80 | 78 | 99 |

Courbe limite de luminance

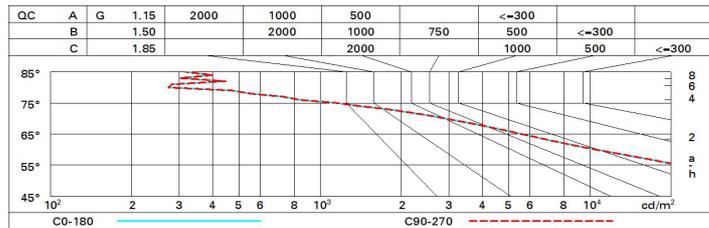


Diagramme UGR

| Corrected UGR values (at 1350 lm bare lamp luminous flux) | | | | | | | | | | | |
|---|------|------------------|------|------|------|------|----------------|------|------|------|------|
| Reflect.: | | viewed crosswise | | | | | viewed endwise | | | | |
| ceiling/cav | | 0.70 | 0.70 | 0.50 | 0.50 | 0.30 | 0.70 | 0.70 | 0.50 | 0.50 | 0.30 |
| walls | | 0.50 | 0.30 | 0.50 | 0.30 | 0.30 | 0.50 | 0.30 | 0.50 | 0.30 | 0.30 |
| work pl. | | 0.20 | 0.20 | 0.20 | 0.20 | 0.20 | 0.20 | 0.20 | 0.20 | 0.20 | 0.20 |
| Room dim | | viewed crosswise | | | | | viewed endwise | | | | |
| x | y | | | | | | | | | | |
| 2H | 2H | 21.2 | 21.8 | 21.5 | 22.1 | 22.3 | 21.2 | 21.8 | 21.5 | 22.1 | 22.3 |
| | 3H | 21.1 | 21.6 | 21.4 | 21.9 | 22.2 | 21.1 | 21.7 | 21.4 | 21.9 | 22.2 |
| | 4H | 21.0 | 21.5 | 21.3 | 21.8 | 22.1 | 21.0 | 21.6 | 21.4 | 21.8 | 22.1 |
| | 6H | 20.9 | 21.4 | 21.3 | 21.7 | 22.1 | 21.0 | 21.4 | 21.3 | 21.7 | 22.1 |
| | 8H | 20.9 | 21.4 | 21.3 | 21.7 | 22.0 | 20.9 | 21.4 | 21.3 | 21.7 | 22.0 |
| 12H | 20.9 | 21.3 | 21.2 | 21.6 | 22.0 | 20.9 | 21.3 | 21.3 | 21.7 | 22.0 | |
| 4H | 2H | 21.0 | 21.6 | 21.4 | 21.8 | 22.1 | 21.0 | 21.5 | 21.3 | 21.8 | 22.1 |
| | 3H | 20.9 | 21.3 | 21.3 | 21.7 | 22.0 | 20.9 | 21.3 | 21.3 | 21.7 | 22.0 |
| | 4H | 20.8 | 21.2 | 21.2 | 21.6 | 22.0 | 20.8 | 21.2 | 21.2 | 21.6 | 22.0 |
| | 6H | 20.7 | 21.1 | 21.2 | 21.5 | 21.9 | 20.7 | 21.1 | 21.2 | 21.5 | 21.9 |
| | 8H | 20.7 | 21.0 | 21.1 | 21.4 | 21.8 | 20.7 | 21.0 | 21.1 | 21.4 | 21.8 |
| 12H | 20.6 | 20.9 | 21.1 | 21.3 | 21.8 | 20.6 | 20.9 | 21.1 | 21.3 | 21.8 | |
| 8H | 4H | 20.7 | 21.0 | 21.1 | 21.4 | 21.8 | 20.7 | 21.0 | 21.1 | 21.4 | 21.8 |
| | 6H | 20.6 | 20.8 | 21.1 | 21.3 | 21.8 | 20.6 | 20.8 | 21.1 | 21.3 | 21.8 |
| | 8H | 20.5 | 20.8 | 21.0 | 21.2 | 21.7 | 20.5 | 20.8 | 21.0 | 21.2 | 21.7 |
| | 12H | 20.5 | 20.7 | 21.0 | 21.2 | 21.7 | 20.5 | 20.7 | 21.0 | 21.2 | 21.7 |
| 12H | 4H | 20.6 | 20.9 | 21.1 | 21.3 | 21.8 | 20.6 | 20.9 | 21.1 | 21.3 | 21.8 |
| | 6H | 20.5 | 20.8 | 21.0 | 21.2 | 21.7 | 20.5 | 20.8 | 21.0 | 21.2 | 21.7 |
| | 8H | 20.5 | 20.7 | 21.0 | 21.2 | 21.7 | 20.5 | 20.7 | 21.0 | 21.2 | 21.7 |
| Variations with the observer position at spacing: | | | | | | | | | | | |
| S = | 1.0H | 3.6 / -0.7 | | | | | 3.6 / -0.7 | | | | |
| | 1.5H | 0.3 / -11.8 | | | | | 0.3 / -11.8 | | | | |
| | 2.0H | 8.2 / -15.1 | | | | | 8.2 / -15.1 | | | | |